

# CeO<sub>2</sub>掺杂对SrNa<sub>0.5</sub>Bi<sub>4.5</sub>Ti<sub>5</sub>O<sub>18</sub>高温无铅 压电陶瓷性能的影响\*

姬万滨 初瑞清 徐志军 郝继功 程仁飞

(聊城大学材料科学与工程学院 聊城 252059)

**摘要** 用固相合成法制备SrNa<sub>0.5</sub>Bi<sub>4.5</sub>Ti<sub>5</sub>O<sub>18</sub> + x%(质量分数) CeO<sub>2</sub> (SNBTC<sub>x</sub>) 铋层状无铅压电陶瓷, 研究了CeO<sub>2</sub>掺杂对SNBTC<sub>x</sub>陶瓷微观结构和电性能的影响。结果表明, CeO<sub>2</sub>掺杂并未改变SNBTC<sub>x</sub>陶瓷的晶体结构, 所有样品均为单一的铋层状结构陶瓷; CeO<sub>2</sub>掺杂没有使SNBTC<sub>x</sub>陶瓷居里温度发生明显变化, 居里温度均高于560℃; 随着CeO<sub>2</sub>掺杂量的增加SNBTC<sub>x</sub>陶瓷材料的介电常数减小, 但是其介电损耗先增大后减小。当CeO<sub>2</sub>掺杂量为0.3%(质量分数)时SNBTC<sub>0.03</sub>陶瓷具有最优电性能:  $T_c = 567^\circ\text{C}$ ,  $d_{33} = 29 \text{ pC/N}$ ,  $\tan\delta = 0.015$ , 且在500℃退极化处理后, 其 $d_{33}$ 仍保持在22 pC/N以上, 说明SNBTC<sub>0.03</sub>陶瓷可在高温下应用。

**关键词** 无机非金属材料, 高温压电陶瓷, 铋层状, 压电性能, 温度稳定性

分类号 TB321, TM282

文章编号 1005-3093(2015)03-0201-06

## Effect of CeO<sub>2</sub>-doping on Properties of SrNa<sub>0.5</sub>Bi<sub>4.5</sub>Ti<sub>5</sub>O<sub>18</sub>- based High Temperature Lead-free Piezoelectric Ceramics

JI Wanbin CHU Ruiqing\*\* XU Zhijun HAO Jigong CHENG Renfei

(College of Materials Science and Engineering, Liaocheng University, Liaocheng 252059)

\*Supported by National Natural Science Foundation of China Nos. 51372110, 51402144 & 51302124, National High Technology Research and Development Program of China No. 2013AA030801, Natural Science Foundation of Shandong Province of China No. ZR2012EMM004, Science and Technology Planning Project of Guangdong Province No. 2013B091000001, and Independent Innovation and Achievement Transformation in Shandong Province Special No. 2014CGZH0904.

Manuscript received August 26, 2014; in revised form November 4, 2014.

\*\*To whom correspondence should be addressed, Tel: (0635)8230913, E-mail: ruiqc@lcu.edu.cn

**ABSTRACT** The lead-free bismuth layer-structured piezoelectric ceramics of SrNa<sub>0.5</sub>Bi<sub>4.5</sub>Ti<sub>5</sub>O<sub>18</sub> + x wt.% CeO<sub>2</sub> (SNBTC<sub>x</sub>) were prepared by solid state reaction and the effect of CeO<sub>2</sub> on the microstructure and electrical properties of the ceramics have been investigated. The result shows that the CeO<sub>2</sub> doping did not alter the crystallographic structure of the ceramics. There were not obvious changes in Curie temperature of the ceramics with the doping of CeO<sub>2</sub>, and all the prepared SNBTC<sub>x</sub> had high Curie points ( $T_c \geq 560^\circ\text{C}$ ). With the increase of CeO<sub>2</sub> contents, the dielectric constant decreased gradually, while the dielectric loss increased firstly and then decreased. Among others, the ceramics SNBTC<sub>x</sub> with  $x=0.3$  exhibited the best properties:  $T_c=567^\circ\text{C}$ ,  $d_{33}=29 \text{ pC/N}$  and  $\tan\delta=0.015$ , besides of which the  $d_{33}$  value was still over 22 pC/N after annealing at 500℃, indicating that the ceramic could be used at high temperature.

**KEY WORDS** inorganic nonmetallic materials, high temperature piezoelectric ceramic, bismuth layer-structured, piezoelectric properties, temperature stability

\* 国家自然科学基金51372110、51402144和51302124, 国家高技术研究发展计划2013AA030801, 山东省自然科学基金ZR2012EMM004, 广东省科技计划2013B091000001和山东省自主创新及成果转化专项2014CGZH0904资助。

2014年8月26日收到初稿; 2014年11月4日收到修改稿。

本文联系人: 初瑞清, 教授

与铅基及钙钛矿无铅压电陶瓷相比<sup>[1-3]</sup>, 铋层状无铅压电陶瓷有居里温度高、介电常数低、介电损耗小、电阻率高、抗老化性好、高温频率稳定性好等优点, 在高温和高频领域中的应用有很大优势<sup>[4,5]</sup>。但是, 铋层状无铅压电陶瓷的压电活性低、矫顽场高和难以极化。因此, 科研工作者们对铋层状无铅压电

陶瓷进行了深入而广泛的研究<sup>[6-10]</sup>。

掺杂改性是提高压电材料性能的常用手段。Ce是一种变价元素,能提高材料的电阻率、压电常数和温度稳定性,常用于钙钛矿与铋层状压电陶瓷的掺杂改性<sup>[11-16]</sup>。Yan等<sup>[17]</sup>用(Li, Ce), (K, Ce)复合置换 $\text{CaBi}_4\text{Ti}_4\text{O}_{15}$ 中A位的Ca,压电常数 $d_{33}$ 从7 pC/N增加到20 pC/N。Ma等<sup>[18]</sup>也用(Li, Ce)复合掺杂 $\text{NaBi}_5\text{Ti}_5\text{O}_{18}$ 陶瓷,压电常数 $d_{33}$ 达到了26.5 pC/N,退极化温度在500℃时, $d_{33}$ 仍保持在19 pC/N。而在众多铋层状无铅压电陶瓷中, $\text{Sr}_2\text{Bi}_4\text{Ti}_5\text{O}_{18}$ 铋层状压电陶瓷具有矫顽场低,压电活性相对较高的优点,但是其居里温度仅为296℃,限制了其在高温领域的应用<sup>[9]</sup>。

基于此,本文用 $\text{CeO}_2$ 外掺 $\text{SrNa}_{0.5}\text{Bi}_{4.5}\text{Ti}_5\text{O}_{18}$ (SN-BT)陶瓷。通过Ce离子外掺和Na离子内掺的方式,探索提高 $\text{Sr}_2\text{Bi}_4\text{Ti}_5\text{O}_{18}$ 陶瓷居里温度、压电性能及其温度稳定性的新途径。

## 1 实验方法

以 $\text{Na}_2\text{CO}_3$ (99%)、 $\text{SrCO}_3$ (99%)、 $\text{Bi}_2\text{O}_3$ (99.64%)、 $\text{TiO}_2$ (99.5%)和 $\text{CeO}_2$ (99.99%)为原料,采用固相合成法制备 $\text{SrNa}_{0.5}\text{Bi}_{4.5}\text{Ti}_5\text{O}_{18} + x\text{CeO}_2$ ( $x=0, 0.1, 0.2, 0.3, 0.4$ ; 质量分数, %)陶瓷。

分别称取原料,以无水乙醇为球磨介质,用行星式球磨机(XQM-1L, 南京科析实验仪器研究所)球磨混合原料12 h。将混料取出烘干,在850℃保温2 h预合成,然后以去离子水为球磨介质再球磨8 h;二次球磨后烘干,再充分研磨后加入10%(质量分数)PVB溶液造粒,得到流动性好的颗粒。将其在230 MPa压力下干压成型,得到直径12 mm厚度为1 mm的坏体。

将坏体在800℃保温2 h排塑,然后在1140℃烧结保温2 h,得到致密的陶瓷样品;将烧成后的陶瓷样品打磨、抛光、被敷银电极,然后在720℃保温20 min烧银,在180℃硅油内极化。使用MS2671A耐压测试仪,极化电压为30 kV/cm,极化时间为20 min。

用X射线衍射仪(D8 Advance)测定SNBTC<sub>x</sub>陶瓷的物相结构;用扫描电子显微镜(JSM-6380)观察SNBTC<sub>x</sub>陶瓷的微观形貌;用HP4294A型精确阻抗分析仪(Agilent Inc.)测试SNBTC<sub>x</sub>陶瓷的介电常数和介电损耗;SNBTC<sub>x</sub>陶瓷的压电常数 $d_{33}$ 采用准静态 $d_{33}$ 测量仪YE2730A进行测试。

## 2 结果和讨论

### 2.1 相结构分析

图1给出了SNBTC<sub>x</sub>陶瓷在 $2\theta = 20^\circ \sim 50^\circ$ 范围内的XRD图谱。由图1可以看出,外掺 $\text{CeO}_2$ 并未引起

杂相,所有样品均具有 $m=5$ 的单一的正交铋层状结构<sup>[9]</sup>。这说明, $\text{CeO}_2$ 离子扩散进入SNBT晶格形成了均一固溶体。由图1B还可以看出,主峰(1011)出现了向大角度偏移的现象。其原因是,掺杂的 $\text{Ce}^{4+}$ 半径(0.092 nm, 配位数为6)小于 $\text{Sr}^{2+}$ 、 $\text{Na}^+$ 、 $\text{Bi}^{3+}$ 的离子半径(0.118, 0.102, 0.103 nm, 配位数为6),导致晶胞体积减小<sup>[19]</sup>。这与晶胞参数计算结果相符合。根据Debye Scherrer公式<sup>[20]</sup>,向大角度偏移说明,随着 $\text{CeO}_2$ 掺杂量的增大晶粒有长大的趋势。图2给出了

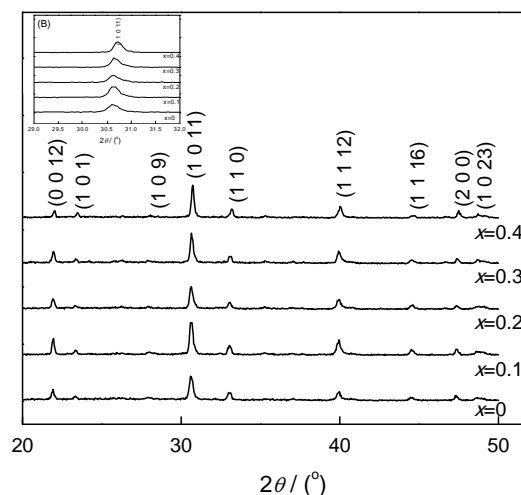


图1 SNBTC<sub>x</sub>陶瓷样品的XRD图谱

Fig.1 XRD spectra of SNBTC<sub>x</sub> ceramics

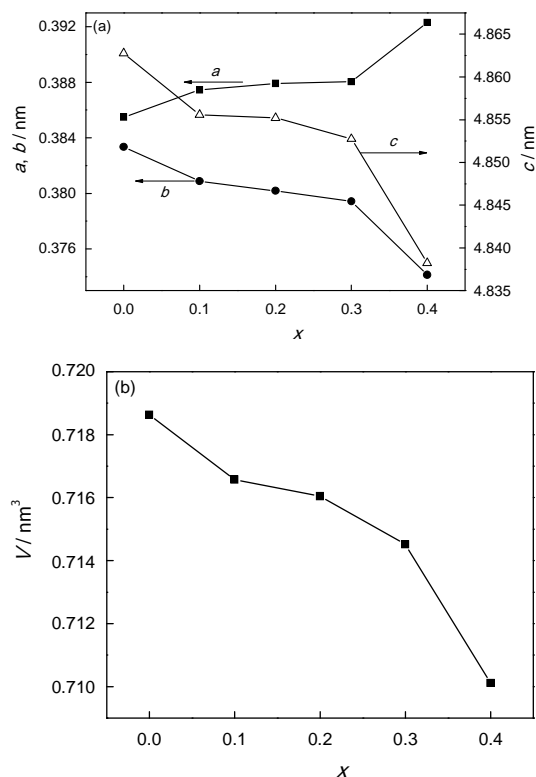


图2 SNBTC<sub>x</sub>陶瓷的晶胞参数及晶胞体积与x的关系

Fig.2 Relationship between lattice parameters and lattice volume plotted and x

样品晶胞参数随掺杂量  $x$  变化曲线图。从图2可以看出, 随着掺杂量的增加晶胞参数  $a$  先减小后增大, 晶胞参数  $c$  随着  $x$  的增加呈现减小的趋势, 晶胞体积  $V$  表现出相同的变化, 随着  $x$  的增加而减小。晶胞体积变化的原因是,  $\text{Ce}^{4+}$  扩散进入晶格中取代了部分 A 位离子, 使晶格产生适度的畸变<sup>[21, 22]</sup>。在这种情况下电畴也容易运动, 有利于陶瓷的极化提高压电性能<sup>[23]</sup>。

## 2.2 微观结构

图3给出了在  $1140^\circ\text{C}$  保温 2 h 烧结得到的  $\text{SN-BTC}_x$  陶瓷表面的 SEM 照片。从图3可以看出, 所有样品均呈现出典型的层状特征<sup>[24, 25]</sup>。其原因是, 在烧结过程中晶粒垂直  $c$  轴方向的表面具有更低的表面能, 晶粒优先沿着低表面能的平面生长, 导致晶粒沿着  $a, b$  轴的生长速率大于沿  $c$  轴的生长速率, 最终表现为片状结构<sup>[26]</sup>。由图3可见, 随着  $\text{CeO}_2$  掺杂量的增加晶粒尺寸逐渐增大, 晶粒大小趋于均匀, 与

$\text{CeO}_2$  掺杂量的增加晶界清晰, 且表面也越来越致密, 表明  $\text{CeO}_2$  的掺杂不仅促进了  $\text{SNBT}$  陶瓷晶粒生长, 而且促进其致密化, 抑制缺陷的产生, 进而可优化铋层状无铅压电陶瓷的电性能<sup>[4, 9]</sup>。

## 2.3 介电性能

图4给出了  $\text{SNBTC}_x$  陶瓷在 100 kHz 下介电常数和介电损耗随温度的变化关系图谱。从图4可以看出,  $\text{SNBTC}_x$  陶瓷存在的铁电-顺电转变温度, 即居里温度  $T_c$ , 随着  $\text{CeO}_2$  掺杂量的增加  $\text{SNBTC}_x$  陶瓷的居里温度先升高后降低, 但变化幅度较小 ( $560\text{--}576^\circ\text{C}$ , 图5)。压电材料居里温度的变化主要受掺杂元素离子半径和电负性的影响: 居里温度随着掺杂元素离子半径降低而升高, 但是随着掺杂元素离子电负性的减小而降低<sup>[27]</sup>。本文以  $\text{CeO}_2$  为原材料, 原材料中的  $\text{Ce}$  离子价态是  $4+$ , 但在高温烧结时  $\text{Ce}^{4+}$  可能转变为  $\text{Ce}^{3+}$ 。  $\text{Ce}^{3+}$  和  $\text{Ce}^{4+}$  半径分别为  $0.101\text{ nm}$  和  $0.092\text{ nm}$ , 小于  $\text{Sr}^{2+}$ 、 $\text{Na}^+$ 、 $\text{Bi}^{3+}$  的离子半径 ( $0.118, 0.102, 0.103\text{ nm}$ ),

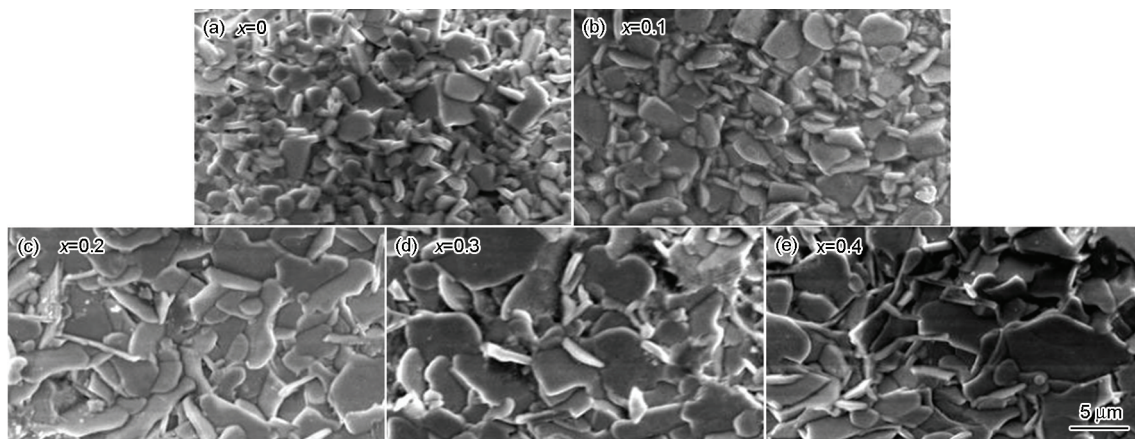


图3 在  $1140^\circ\text{C}$  保温 2 h 后  $\text{SNBTC}_x$  陶瓷样品的表面微观形貌

Fig.3 SEM morphologies of  $\text{SNBTC}_x$  sintered at  $1140^\circ\text{C}$  for 2 h

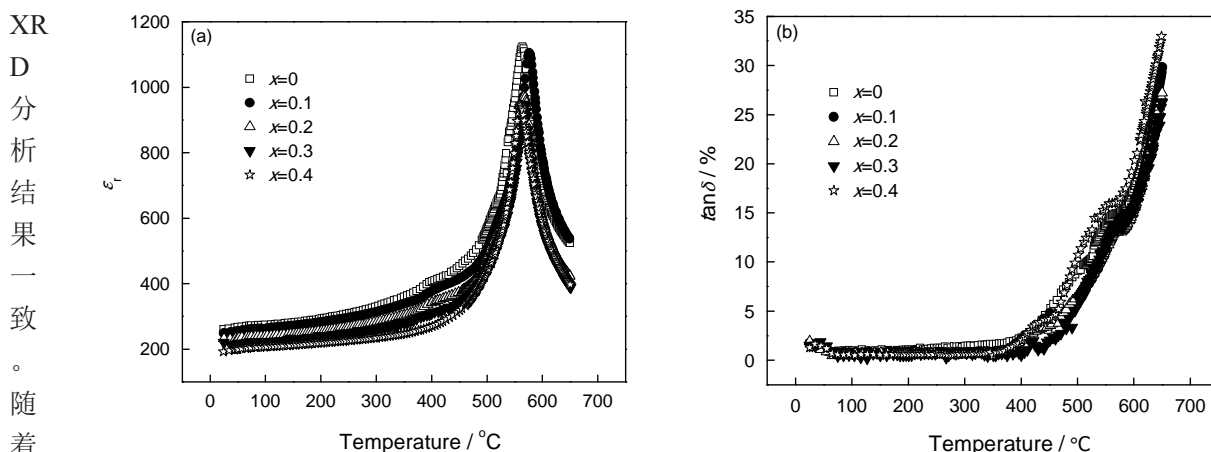


图4  $\text{SNBTC}_x$  陶瓷样品 100 kHz 的介电常数和介电损耗与温度的关系

Fig.4 Dielectric constant (a) and dielectric loss tangent (b) of  $\text{SNBTC}_x$  ceramics as a function of the temperature at 100 kHz

XR  
D  
分  
析  
结  
果  
一  
致。  
随  
着



随着  $\text{CeO}_2$  掺杂量的增加样品的居里温度应该有所升高。另一方面,  $\text{Ce}$  的电负性(1.12)小于  $\text{Sr}$ 、 $\text{Na}$ 、 $\text{Bi}$  的电负性(加权平均计算得 1.62), 随着  $\text{CeO}_2$  掺杂量的增加样品的居里温度应有所降低。由图 5 可以看出,  $x \leq 0.1$  时少量  $\text{CeO}_2$  掺杂主要是离子半径对居里温度影响起主要作用, 导致随着  $\text{CeO}_2$  掺杂量的增加居里温度升高;  $x > 0.1$  时离子电负性对居里温度影响增强, 随着  $\text{CeO}_2$  掺杂量的增加居里温度又开始降低。另外, 随着  $\text{CeO}_2$  掺杂量的增加  $\text{SNBTC}_x$  陶瓷的介电常数减小。根据 Shannon<sup>[19]</sup> 有效离子半径, 在配位数为 6 时  $\text{Ce}^{3+}$  和  $\text{Ce}^{4+}$  离子半径分别为 0.101 nm 和 0.092 nm, 与 A 位的离子半径接近。因此在理论上,  $\text{Ce}^{3+}$  和  $\text{Ce}^{4+}$  进入 A 位取代  $\text{Sr}^{2+}$ 、 $\text{Na}^+$ 、 $\text{Bi}^{3+}$ , 电价不平衡而产生 A 空位。根据软性掺杂与硬性掺杂理论, A 空位的产生为软性掺杂效应, 其压电常数和介电常数会升高; 但若产生过多的 A 空位就会使晶格畸变过大, 造成介电常数降低<sup>[28]</sup>。另外,  $\text{Ce}^{3+}$  和  $\text{Ce}^{4+}$  离子半径小于  $\text{Sr}^{2+}$ 、 $\text{Na}^+$ 、 $\text{Bi}^{3+}$  的离子半径, 小半径的离子掺杂使离子极化减小<sup>[29]</sup>, 也降低其介电常数。由图 4b 可见, 在室温到 450℃ 时该材料的介电损耗一直低于 5% 左右, 特别是样品  $x=0.3$ , 在温度上升到 500℃ 时其损耗仍低于 5%。这表明, 该材料具有良好的温度稳定性。

#### 2.4 压电性能及温度稳定性分析

图 6 给出了  $\text{SNBTC}_x$  陶瓷室温时的压电常数  $d_{33}$  及其随退火温度的变化曲线。由图 6 可知, 室温时  $\text{SNBTC}_x$  陶瓷的压电常数  $d_{33}$  随着掺杂量的增加先增大后减小。当  $x=0.3$  时压电常数  $d_{33}$  达到 29 pC/N, 高于  $\text{SrBi}_4\text{Ti}_4\text{O}_{15}$ <sup>[30]</sup>、 $\text{SrCaBi}_4\text{Ti}_5\text{O}_{18}$ <sup>[9]</sup>、 $\text{SrBi}_2\text{Nb}_2\text{O}_9$ <sup>[31]</sup>、 $\text{CaBi}_4\text{Ti}_4\text{O}_{15}$ <sup>[32]</sup>、 $\text{Bi}_4\text{Ti}_3\text{O}_{12}$ <sup>[33]</sup> 等其它高温铋层状压电陶瓷。说明适量外掺  $\text{CeO}_2$  可显著提高铋层状压电陶瓷的压电活性, 因为外掺  $\text{CeO}_2$  后铋层状压电陶瓷会

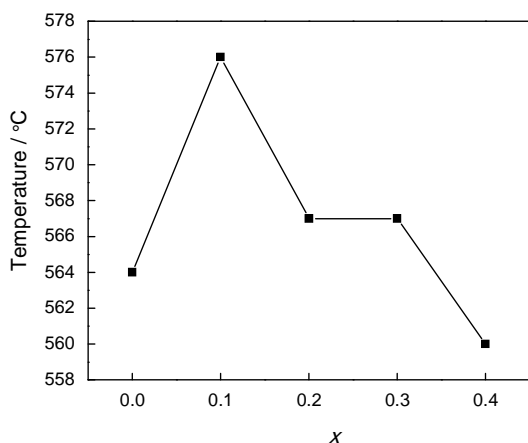


图 5  $\text{SNBTC}_x$  陶瓷的居里温度与  $x$  的关系

Fig.5 Influence of  $x$  on Curie temperature of the  $\text{SNBTC}_x$  ceramics

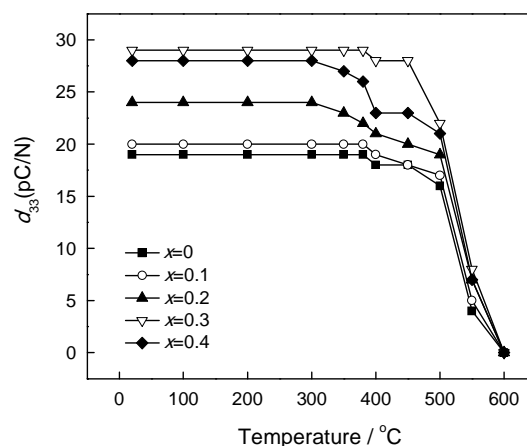


图 6  $\text{SNBTC}_x$  陶瓷的室温  $d_{33}$  及随退火温度的变化

Fig.6 Influence of annealing temperature on  $d_{33}$  of the  $\text{SNBTC}_x$  ceramics

产生适度的空位和晶格畸变, 使畴壁在外场作用下转向变得容易, 材料能够充分极化, 进而提高了其压电性能<sup>[23, 34, 35]</sup>。由图 6 还可以看出,  $\text{SNBTC}_x$  陶瓷压电常数  $d_{33}$  随着退火温度的升高表现平稳, 接近 400℃ 时所有样品的压电性能才有所降低。其原因是, 适量  $\text{CeO}_2$  掺杂引起  $\text{SNBTC}_x$  陶瓷离子键键能增加, 离子之间的结合能更高, 需要更高的能量才能使其发生破坏, 因而提高了  $\text{SNBTC}_x$  陶瓷的温度稳定性。温度稳定性表现最为突出的是掺杂量  $x=0.3$  的陶瓷材料, 在退火温度为 500℃ 时退极化时间为 30 min,  $d_{33}$  仍然保持在 22 pC/N 以上。这说明,  $\text{SNBTC}_{0.3}$  陶瓷具有更好的温度稳定性, 适合于制备高温环境中应用的压电器件。

### 3 结 论

采用固相法可制备出  $\text{SNBTC}_x$  铋层状无铅压电陶瓷。所有陶瓷均为纯的 5 层铋层状结构陶瓷, 陶瓷的晶粒为片状, 随着  $\text{CeO}_2$  掺杂量的增加晶粒逐渐增大, 结构愈发致密。当  $\text{CeO}_2$  掺杂量为 0.3 时压电常数  $d_{33}$  高于其它高温铋层状压电陶瓷, 达到 29 pC/N;  $\text{SNBTC}_x$  铋层状无铅压电陶瓷具有高的居里温度 ( $T_c = 567^\circ\text{C}$ ) 和低的介电损耗 ( $\tan\delta < 5\%$ ); 当退火温度为 500℃ 时压电常数  $d_{33}$  仍保持在 22 pC/N 以上, 表明  $\text{SNBTC}_{0.3}$  无铅陶瓷具有良好的温度稳定性, 适用于制备高温高频压电器件。

#### 参 考 文 献

- 1 CHEN Shutao, XU Qing, CHEN Wen, ZHOU Jing, Synthesis and piezoelectric properties of  $(\text{Na}_{0.5}\text{Bi}_{0.5})\text{TiO}_3$ - $\text{BaTiO}_3$ , Chinese Journal of Materials Research, **18**(5), 521(2004)  
(陈书涛, 徐庆, 陈文, 周静,  $(\text{Na}_{0.5}\text{Bi}_{0.5})\text{TiO}_3$ - $\text{BaTiO}_3$  的合成与压电性能, 材料研究学报, **18**(5), 521(2004))
- 2 ZHU Xinhua, WANG Qun, MENG Zhongyan, Piezoelectric proper-

- ties of Pb(Ni<sub>1/3</sub>Nb<sub>2/3</sub>)O<sub>3</sub>-PbZrO<sub>3</sub>-PbTiO<sub>3</sub> ternary solid solutions, Chinese Journal of Materials Research, **9**(4), 355(1995)  
(朱信华, 王 群, 孟中岩, Pb(Ni<sub>1/3</sub>Nb<sub>2/3</sub>)O<sub>3</sub>-PbZrO<sub>3</sub>-PbTiO<sub>3</sub> 三元系固溶体的压电性能, 材料研究学报, **9**(4), 355(1995))
- 3 GUO Jingkun, The research of advanced ceramics and its prospects in China, Chinese Journal of Materials Research, **11**(6), 594(1997)  
(郭景坤, 中国先进陶瓷研究及其展望, 材料研究学报, **11**(6), 594(1997))
  - 4 FAN Suhua, ZHANG Fengqing, HU Guangda, WANG Peiji, XU Jing, ZHANG Wei, Effect of different sintering temperatures on the electrical properties of the CaBi<sub>4</sub>Ti<sub>4</sub>O<sub>15</sub> ceramics, Journal of Synthetic Crystals, **36**(2), 396(2007)  
(范素华, 张丰庆, 胡广达, 王培吉, 徐 静, 张 伟, 烧结温度对 CaBi<sub>4</sub>Ti<sub>4</sub>O<sub>15</sub> 陶瓷电性能的影响, 人工晶体学报, **36**(2), 396(2007))
  - 5 ZHU Jun, LU Wangping, LIU Qiuchao, MAO Xiangyu, HUI Rong, CHEN Xiaobing, Study of properties of lanthanum doped SrBi<sub>4</sub>Ti<sub>4</sub>O<sub>15</sub> ferroelectric ceramics, Acta Physica Sinica, **52**(6), 1524(2003)  
(朱 骏, 卢网平, 刘秋朝, 毛翔宇, 惠 荣, 陈小兵, La 掺杂 SrBi<sub>4</sub>Ti<sub>4</sub>O<sub>15</sub> 铁电材料性能研究, 物理学报, **52**(6), 1524(2003))
  - 6 WANG Xinja, JIANG Xiangpin, CHEN Chao, TU Na, LI Xiaohong, Effects of Ce- doping on properties of 0.9Na<sub>0.5</sub>Bi<sub>2.5</sub>Nb<sub>2</sub>O<sub>9</sub>-0.1NbLiO<sub>3</sub>-based high temperature lead-free piezoelectric ceramics, Journal of Synthetic Crystals, **41**(5), 1254(2012)  
(王新佳, 江向平, 陈超, 涂娜, 李小红, Ce 掺杂对 0.9Na<sub>0.5</sub>Bi<sub>2.5</sub>Nb<sub>2</sub>O<sub>9</sub>-0.1NbLiO<sub>3</sub> 高温无铅压电陶瓷性能的影响, 人工晶体学报, **41**(5), 1254(2012))
  - 7 GU Daguo, LI Guorong, ZHENG Liaoying, ZENG Jiangtao, DING Aili, YIN Qingrui, Electrical properties of Mn- modified Ca-Bi<sub>4</sub>Ti<sub>4</sub>O<sub>15</sub> piezoelectrics for high temperature application, Journal of Inorganic Material, **23**(3), 626(2008)  
(顾大国, 李国荣, 郑燎赢, 曾江涛, 丁爱丽, 殷庆瑞, 锰对改善 Ca-Bi<sub>4</sub>Ti<sub>4</sub>O<sub>15</sub> 高温压电陶瓷性能的研究, 无机材料学报, **23**(3), 626(2008))
  - 8 ZONG Lichao, ZENG Jiangtao, ZHAO Suchuan, RUAN Wei, LI Guorong, Study on A-site cation doping of CaBi<sub>2</sub>Nb<sub>2</sub>O<sub>9</sub> with bismuth layered structure, Journal of Inorganic Material, **27**(7), 726(2012)  
(宗立超, 曾江涛, 赵苏串, 阮 伟, 李国荣, 含铋层状结构陶瓷 Ca-Bi<sub>2</sub>Nb<sub>2</sub>O<sub>9</sub> 的 A 位掺杂改性研究, 无机材料学报, **27**(7), 726(2012))
  - 9 Z. J. Xu, R. Q. Chu, J. G. Hao, Y. J. Zhang, Q. Chen, L. M. Zhao, G. R. Li, Qi. R. Yin, Study on high temperature performances for bismuth layer-structured (Sr<sub>1-x</sub>Ca<sub>x</sub>)<sub>2</sub>Bi<sub>4</sub>Ti<sub>5</sub>O<sub>18</sub> (0≤x≤1) ceramics, J. Alloys Compd., **487**, 585(2009)
  - 10 B. Mamatha, A. R. James, P. Sarah, Dielectric and piezoelectric properties of SrBi<sub>4-x</sub>Ho<sub>x</sub>Ti<sub>5</sub>O<sub>15</sub> (x=0.00, 0.02, 0.04 and 0.06) ceramics, Physica B, **405**(23), 4772(2010)
  - 11 PAN Hongli, WANG Jingliang, LIU Peng, Effect of CeO<sub>2</sub> dopant on the structure and dielectric properties of Ba<sub>0.6</sub>Sr<sub>0.4</sub>TiO<sub>3</sub>-MgO ceramic, Journal of Shaanxi Normal University (Natural Science Edition), **38**(1), 42(2010)  
(潘宏利, 王景亮, 刘 鹏, CeO<sub>2</sub> 掺杂对 Ba<sub>0.6</sub>Sr<sub>0.4</sub>TiO<sub>3</sub>-MgO 结构及介电性能的影响, 陕西师范大学学报, **38**(1), 42(2010))
  - 12 FENG Yuanyuan, GAI Zhigang, ABAH Roza, ZHAO Minglei, The effects of a position LiCe co- substituted on the properties of Na<sub>0.5</sub>Bi<sub>2.5</sub>Nb<sub>2</sub>O<sub>9</sub> ceramics, Journal of Functional Materials, **45**(2), 25(2014)  
(冯元元, 盖志刚, 茹扎·阿巴合, 赵明磊, A 位 LiCe 复合取代改性对 Na<sub>0.5</sub>Bi<sub>2.5</sub>Nb<sub>2</sub>O<sub>9</sub> 陶瓷性能的影响, 功能材料, **45**(2), 25(2014))
  - 13 JIANG Dan, ZHOU Taosheng, LIU Heng, SHANG Xunzhong, ZHANG Lei, HE Yunbin, Study of (Ba, Sr, Ca)TiO<sub>3</sub>-based high-voltage capacitor ceramics doped with CeO<sub>2</sub>, Bulletin of the Chinese Ceramic Society, **29**(3), 698(2010)  
(姜 丹, 周桃生, 刘 珩, 尚勋忠, 张 蕾, 何云斌, CeO<sub>2</sub> 掺杂 (Ba, Sr, Ca)TiO<sub>3</sub> 基高压电容陶瓷的研究, 硅酸盐通报, **29**(3), 698(2010))
  - 14 ZOU Zhengguang, YAO Dongye, LI Han, LONG Fei, WU Yi, Piezoelectric properties of Ce<sup>4+</sup>- doping and La<sup>3+</sup>- doping (Bi<sub>0.5</sub>Na<sub>0.5</sub>)<sub>0.94</sub>-Ba<sub>0.06</sub>TiO<sub>3</sub> ceramics, Journal of Wuhan University of Technology, **30**(12), 19(2008)  
(邹正光, 姚东野, 李 含, 龙 飞, 吴 一, Ce<sup>4+</sup> 及 La<sup>3+</sup> 掺杂对 (Bi<sub>0.5</sub>-Na<sub>0.5</sub>)<sub>0.94</sub>Ba<sub>0.06</sub>TiO<sub>3</sub> 陶瓷压电性能的影响, 武汉理工大学学报, **30**(12), 19(2008))
  - 15 HUANG Xinyou, WEI Minxian, CHEN Zhigang, GAO Chunhua, CUI Yongzhen, Influence of CeO<sub>2</sub> doping on properties of NBT-KBT- BT lead-free piezoelectric ceramics, Journal of Synthetic Crystals, **37**(6), 1489(2008)  
(黄新友, 魏敏先, 陈志刚, 高春华, 崔永臻, CeO<sub>2</sub> 掺杂对 NBT-KBT-BT 无铅压电陶瓷性能的影响, 人工晶体学报, **37**(6), 1489(2008))
  - 16 XUAN Minjie, LIU Xinyu, MA Jiafeng, YUAN Changlai, CUI Yelang, Properties study of CuO- CeO<sub>2</sub> co- doped Ba<sub>0.85</sub>Ca<sub>0.15</sub>Zr<sub>0.1</sub>-Ti<sub>0.9</sub>O<sub>3</sub> lead-free piezoelectric ceramics, Electronic Components And Materials, **31**(5), 12(2012)  
(轩敏杰, 刘心宇, 马家峰, 袁昌来, 催业让, CuO/CeO<sub>2</sub> 共掺杂 Ba<sub>0.85</sub>Ca<sub>0.15</sub>Zr<sub>0.1</sub>Ti<sub>0.9</sub>O<sub>3</sub> 无铅压电陶瓷性能研究, 电子元件与材料, **31**(5), 12(2012))
  - 17 H. X. Yan, Z. Zhang, W. M. Zhu, L. X. He, Y. H. Yu, C. G. Li, J. G. Zhou, The effect of (Li, Ce) and (K, Ce) doping in Aurivillius phase material CaBi<sub>4</sub>Ti<sub>4</sub>O<sub>15</sub>, Mater. Res. Bull., **39**(9), 1237(2004)
  - 18 L. Ma, K. Zhao, J. X. Li, Q. Wu, M. L. Zhao, C. L. Wang, Dielectric and piezoelectric properties of (Li, Ce) modified NaBi<sub>3</sub>Ti<sub>5</sub>O<sub>18</sub> composite ceramics, J. Rare. Earth, **27**(3), 496(2008)
  - 19 R. D., Shannon Revised effective ionic radii and systematic studied of interatomic distance in halides and chalcogenides, Acta Crystallogr., Sect. A, **32**(2), 751(1976)
  - 20 WANG Yun, WANG Hong, SUN Guangai, CHEN Xiping, WANG Shifa, Prepared and photoluminescence of SnO<sub>2</sub> nanoparticles, Chinese Journal of Materials Research, **28**(6), 420(2014)  
(王 云, 王 虹, 孙光爱, 陈喜平, 王仕发, SnO<sub>2</sub> 纳米颗粒的制备及其发光性能, 材料研究学报, **28**(6), 420(2014))
  - 21 Z. G. Gai, J. F. Wang, M. L. Zhao, C. M. Wang, G. Z. Zang, B. Q. Ming, P. Qi, S. J. Zhang, Thomas R. Shrout, High temperature (Na Bi)<sub>0.480.04</sub>Bi<sub>2</sub>Nb<sub>2</sub>O<sub>9</sub>-based piezoelectric ceramics. Appl. Phys. Lett., **89**(1), 012907(2006)
  - 22 X. Y. Huang, Z. G. Chen, X. L. Zheng, C. H. Gao, H. Guan, C. Zhao, Dielectric and piezoelectric Properties of Ca<sub>1-x</sub>(Li, Ce)<sub>x</sub>2-

- Bi<sub>4</sub>Ti<sub>4</sub>O<sub>15</sub> ceramics, J. Rare. Earth., **25**(Supplement 1), 158(2007)
- 23 C. M. Wang, J. F. Wang, S. J. Zhang, Thomas R. Shrout, Electromechanical properties of A-site (LiCe)-modified sodium bismuth titanate (Na<sub>0.5</sub>Bi<sub>4.5</sub>Ti<sub>4</sub>O<sub>15</sub>) piezoelectric ceramics at elevated temperature, J. Appl. Phys., **105**(9), 094110(2009)
  - 24 C. M. Wang, J. F. Wang, L. M. Zheng, M. L. Zhao, C. L. Wang, Enhancement of the piezoelectric properties of sodium lanthanum bismuth titanate (Na<sub>0.5</sub>La<sub>0.5</sub>Bi<sub>4</sub>Ti<sub>4</sub>O<sub>15</sub>) through modification with cobalt, Mater. Sci. Eng., B, **171**, 79(2010)
  - 25 Z. G. Gai, J.F. Wang, W. B. Sun, C. M. Wang, M. L. Zhao, S.Q. Sun, B.Q. Ming, P. Qi, J. Du, S.J. Zhang, Thomas R. Shrout, Ultrahigh temperature Bi<sub>3</sub>Ti<sub>0.96</sub>Sc<sub>0.02</sub>Ta<sub>0.02</sub>NbO<sub>9</sub>-based piezoelectric ceramics, J. Appl. Phys., **104**(2), 4106(2008)
  - 26 WU Jian, LIU Yunfei, LV Yinong, LI Hongpeng, Effects of Ca<sup>2+</sup> content on Curie temperature and properties of (Na<sub>0.5</sub>Bi<sub>0.5</sub>)<sub>1-x</sub>Ca<sub>x</sub>Bi<sub>4</sub>Ti<sub>4</sub>O<sub>15</sub> layer-structured piezoelectric ceramics, Journal of Nanjing University of Technology (Natural Science Edition), **35**(2), 69 (2013)  
(吴键, 刘云飞, 吕忆农, 李鸿鹏, Ca<sup>2+</sup>含量对(Na<sub>0.5</sub>Bi<sub>0.5</sub>)<sub>1-x</sub>Ca<sub>x</sub>Bi<sub>4</sub>Ti<sub>4</sub>O<sub>15</sub>层状压电陶瓷的居里温度和性能的影响, 南京工业大学学报(自然科学版), **35**(2), 69(2013))
  - 27 E. C. Subbarao, Grain size effects in advanced ceramics, Colloids Surf., A, **133**, 3(1998)
  - 28 X. Y. Huang, C. H. Gao, Z. G. Chen, H. P. Liu, Influence of composition on properties of BNT-BT lead-free piezoceramics, J. Rare. Earth., **24**(1), 321(2006)
  - 29 P. Goel, K.L. Yadav, Effect of V<sup>5+</sup> doping on structural and dielectric properties of SrBi<sub>2</sub>Nb<sub>2</sub>O<sub>9</sub> synthesized at low temperature, Physica B, **382**(1), 245(2006)
  - 30 Z. J. Xu, R. Q. Chu, J. Q. Hao, G. R. Li, Q. R. Yin, A novel hybrid method of sol-gel and ultrasonic atomization synthesis and piezoelectric properties of SrBi<sub>4</sub>Ti<sub>4</sub>O<sub>15</sub> ceramics. J. Am. Ceram. Soc., **91**(3), 910(2008)
  - 31 P. Y. Fang, Z. Z. Xi, W. Long, X. J. Li, J. Li, Structure and electrical properties of SrBi<sub>2</sub>Nb<sub>2</sub>O<sub>9</sub>-based ferroelectric ceramics with lithium and cerium modification, J. Alloys Compd., **575**, 61(2013)
  - 32 J. T. Zeng, Y. X. Li, D. Wang, Q. R. Yin, Electrical properties of neodymium doped CaBi<sub>4</sub>Ti<sub>4</sub>O<sub>15</sub> ceramics, Solid State Commun., **133**, 553(2005)
  - 33 T. Jardiell, A. C. Cabllero, M. Villegas, Aurivillius ceramics: Bi<sub>4</sub>Ti<sub>3</sub>O<sub>12</sub>-based piezoelectrics, J. Ceram. Soc. Jap., **116**, 511(2008)
  - 34 J. X. Xu, L. Zhao, C. J. Zhang, Dielectric and piezoelectric properties of sodium bismuth titanate ceramics with KCe substitution, Chin. Phys. Lett., **25**(12), 4414(2008)
  - 35 G. R. Li, L. Y. Zheng, Q. R. Yin, B. Jiang, W. W. Cao, Microstructure and ferroelectric properties of MnO<sub>2</sub>-doped bismuth-layer (Ca, Sr)Bi<sub>4</sub>Ti<sub>4</sub>O<sub>15</sub> ceramics, J. Appl. Phys., **98**(6), 064108(2005)